

# بررسی سینتیک حذف آنتی بیوتیک اکسی تتراسایکلین در محیط آبی توسط نانو ذرات آهن

پریسا حسن‌زاده (دانشجوی دکتری)

حسین گنجی‌دوسن<sup>\*</sup> (استاد)

بینا آبی (دانشیار)

دانشکده‌ی هندسی عمران و محیط‌زیست، دانشگاه تربیت مدرس

مهمنگی عمران شرف، (جمهوری اسلامی ایران)،  
دوری ۲، ۳، ۴، ۵، شماره ۱۳۹۳/۰۵/۰۱

تصنیفی فاضلاب محتوای اکسی تتراسایکلین (OTC)<sup>۱</sup> به دلیل مشکلات جدی در محیط زیست اهمیت خاصی دارد. در این پژوهش، حذف کامل OTC ۱۵۵(mg/L) توسط ۱۰۰ نانو ذرات آهن در pH برابر ۳ با توان تابشی ۲۰۰ وات در ناحیه (mg/L) در مدت ۱۴ ساعت انجام و با بررسی تغییرات پارامترهای ORP، pH و DO در ۶/۵ ساعت، زمان شروع واکنش فتوکاتالیستی هیدروکسید آهن پس از ۳ ساعت به دست آمد. محصولات عمده‌ی ناشی از شکست مولکول OTC تعیین و ثابت‌های سینتیکی آنها به ترتیب ۰۰۰۹۹، ۰۰۰۲۱، ۰۰۰۴۹ و ۰۰۰۷۴(min<sup>-۱</sup>) محاسبه شدند. اثر حضور یون‌های کلسیم، منیزیم، کلر، نیترات، سولفات و بی‌کربنات با غلظت‌های ۱۰، ۵۰، ۱۰۰ و ۲۰۰ (ppm) در فرایند بررسی شدند. با افزایش غلظت یون‌ها به ترتیب  $\text{NO}_3^- > \text{Ca}^{2+} \approx \text{Mg}^{2+} > \text{Cl}^-$  اثر منفی در حذف داشتند و یون‌های سولفات و بی‌کربنات بی‌اثر بودند. همچنین مدل سینتیکی و ثابت‌های سرعت حذف OTC در حضور یون‌های رقیب محاسبه شدند.

p.hassanzadeh@modares.ac.ir  
h-ganji@modares.ac.ir  
ayati.bi@modares.ac.ir

واژگان کلیدی: pH، DO، ORP، یون‌های مراحم، سینتیک، مکانیسم.

## ۱. مقدمه

خود مولکول را به دنبال داشته است. نتایج آنالیز نشان دادند که ساختار اصلی OTC تخریب نشده و فقط یک گروه آمینی و یک گروه هیدروکسیل از آن حذف شده است. همچنین سینتیک تخریب OTC به طور دقیق از مدل مرتبه‌ی اول پیروی کرده و با افزایش غلظت اولیه OTC از ۱۰ (mg/L) به ۱۰ (min<sup>-۱</sup>)، ثابت سرعت واکنش از ۱۴۱ (min<sup>-۱</sup>) به ۰۰۷۵ (min<sup>-۱</sup>) کاهش یافته است. در این فرایند یون‌های نیترات با غلظت (ppm) ۵۰ به دلیل ایجاد رادیکال هیدروکسیل سبب افزایش سرعت واکنش شده است و ثابت‌های سرعت را از ۰۰۹۹ به ۰۱۵۱ (min<sup>-۱</sup>) ارتقاء داده‌اند.<sup>[۱]</sup> همچنین ۸۸٪ OTC با غلظت (mg/L) ۱۰۰ در pH=۷ توسط فرایند فتوکاتالیستی UV/TiO<sub>۲</sub>، که در آن نانو ذرات TiO<sub>۲</sub> از زوئیت با نسبت ۱۵٪ وزنی پر شده‌اند، پس از گذشت ۲۱ دقیقه حذف و یون‌های کلرید، سولفات و نیترات تا غلظت ۱۰ (mmol/L) OTC هیچ مراحمتی به دلیل جذب توسط زوئیت نداشتند.<sup>[۲]</sup> ۷۰٪ OTC با غلظت اولیه (mg/L) ۱۰۰ در فرایند فتنون با نسبت ۱ به ۱۰ آهن به پرکسید هیدروژن و pH=۲/۶، پس از ۱۲۰ دقیقه تجزیه شده است. سینتیک واکنش با ثابت سرعت ( $\text{S}^{\text{۱}}\text{S}^{\text{-}}\text{M}^{\text{۱}}$ ) ۱۱۹ (M<sup>-۱</sup>) مرتبه‌ی دوم و تابع غلظت آهن و H<sub>۲</sub>O<sub>۲</sub> بوده است.<sup>[۳]</sup> در فرایند H<sub>۲</sub>O<sub>۲</sub> با استفاده از توان تابشی ۱۱ وات و مقدار ۱ (mM) پرکسید هیدروژن، نمونه‌ی حاوی (μM) ۵ از OTC با pH=۸ پس از ۲۰ دقیقه به طور کامل تخریب شده است، اما مقدار حذف TOC فقط ۱۰٪ بوده است. در

اکسی تتراسایکلین (OTC) از خانواده‌ی تتراسایکلین‌ها کاربرد گسترده‌ی در درمان انسان و نیز تحریک رشد دام و طیور دارد. این دارو زیست تخریب پذیر نیست و موجب مقاومت ژنتیکی، تشکیل کمپلکس پایدار با کلسیم و رسوب در استخوان‌های بدن انسان می‌شود. همچنین سبب اختلال در تصفیه‌ی بیولوژیکی و تولید محصولات سمی در تصفیه‌ی شیمیایی مانند فرایندهای ازن زنی و کلرزنی می‌شود.<sup>[۴]</sup> مقدار این دارو در فاضلاب کارخانجات در محدوده‌ی ۲۰-۸۰ (mg/L) و در آب‌های سطحی در محدوده‌ی ۳۸-۲ (mg/L) گزارش شده است.<sup>[۵]</sup> در حالی که غلظت مجاز آن در آب (μg/L) ۲۵۰ تعیین شده است.<sup>[۶]</sup>

پژوهش‌های متعددی در زمینه‌ی حذف OTC صورت گرفته است، که در آنها راندمان حذف، کاهش بار آلی، سرعت واکنش حذف و اثر یون‌های مراحم مورد بررسی قرار گرفته‌اند. از جمله‌ی آنها می‌توان به عملیات فیزیکی مانند فتلیز و فرایندهای شیمیایی از جمله فتوکاتالیستی (UV/TiO<sub>2</sub>، اکسیدانسیون پیشرفت UV/H<sub>۲</sub>O<sub>۲</sub>) و فتنون اشاره کرد. برای مثال در عملیات فتلیز OTC با غلظت (W) ۴۰ (mg/L) در pH برابر ۹ به مدت ۲۴۰ دقیقه تحت تابش UV-A با توان (W) ۵۰۰ قرار گرفته است، که ۱۳/۵٪ حذف کل کربن الی (TOC) و ۹٪ حذف

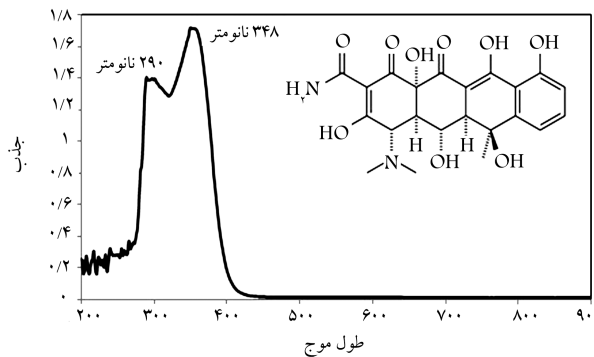
\* نویسنده مسئول

تاریخ: دریافت ۲۵/۴/۱۳۹۱، /صلاحیه ۲۱/۱۱/۱۳۹۱، پذیرش ۳۱/۳/۱۳۹۲.

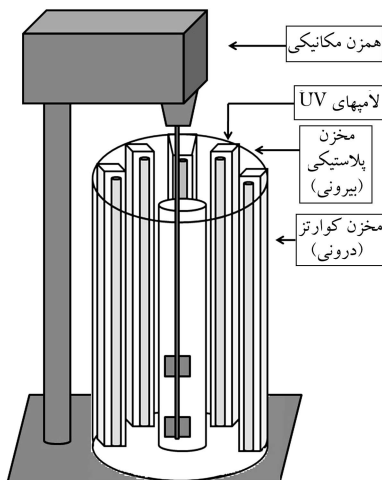
## ۲. مواد و روش‌ها

طی پژوهش ماده‌ای اکسی‌تراسایکلین محلول در آب با نام تجاری تاماپسین، فرمول مولکولی  $O_2H_2N_2O_9$ ، وزن مولکولی (gr/mol)  $496 \times 10^{-3} M^{-1}$  و  $pH = 6,5$  است. طول موج های جذبی  $290$  و  $348$  نانومتر مورد استفاده قرار گرفته است (شکل ۱).<sup>[۱]</sup> که دو پیک مذکور، مربوط به یک سیستم آروماتیکی و همچنین گروه‌های عاملی کربنیل ( $-C=O$ ) هستند.<sup>[۲]</sup>

به همین منظور پس از نهیه و تخلیه ( $mL$ )  $50$  محلول آبی OTC در مخزن کوارتز به طول  $60$  سانتی‌متر و قطر داخلی  $5/5$  سانتی‌متر،  $pH$  محلول تنظیم و به‌وسیله‌ی یک شفت شیشه‌یی متصصل به همزن مکانیکی با سرعت ( $200$  rpm) توان تابشی  $20$  وات هم زده شد. سپس در اطراف راکتور لامپ‌های UV-A با توان تابشی  $20$  وات شرکت پرتو نیک با فاصله‌ی  $7$  سانتی‌متر به صورت عمودی نصب شد. این لامپ‌ها به دیواره‌ی مخزن پلاستیکی با پوشش الومینیومی متصصل شدند، تا اثلاف نور کاهش یابد (شکل ۲). در آزمایش‌های صورت گرفته، نمونه‌های OTC با غلظت‌های  $10$ ،  $100$ ،  $150$  و  $250$  میلی‌گرم بر لیتر و  $pH$  های  $3,4,5,6,7,8,9$  با مقدار  $10$  و  $100$  میلی‌گرم بر لیتر و توان های  $11$  با مقدار نانو آهن صفر،  $10$ ،  $500$  و  $700$  وات در زمان‌های  $1$  تا  $14$  ساعت به منظور تعیین شرایط بهینه مورد بررسی قرار گرفت و پارامترهای جذب در دو طول موج  $290$  و  $348$  نانومتر، COD و TOC پس از جداسازی نانو ذرات آهن



شکل ۱. ساختار و طیف جذبی آنتی‌بیوتیک اکسی‌تراسایکلین.



شکل ۲. شماتیکی سیستم فرایند تلفیقی اکسیداسیون و فتوکسیداسیون نانو ذرات آهن.

مطالعه‌ی سیستمیکی مدل مرتبه‌ی دوم صادق بوده و ثابت سرعت حذف OTC به  $10^6 \times 10^9 M^{-1} s^{-1}$  است. همچنین حضور یون‌های نیترات، سولفات، بی‌کربنات و کلرید با غلظت‌های به ترتیب  $132$ ،  $60$ ،  $50$  و  $30$  ppm به دلیل کاهش راندمان تولید رادیکال هیدروکسیل بود. سرعت واکنش حذف را به شدت کاهش دادند.<sup>[۳]</sup> علاوه بر فرایند‌های ذکر شده برای حذف OTC می‌توان از عوامل حذف دیگری نظری آهن و اکسیدهای آن نیز استفاده کرد. امروزه آهن و اکسیدهای آن ( $Fe_2O_3$  و  $Fe_2O_4$ ) به دلیل خاصیت مغناطیسی، اکسیداسیون، فتوکاتالیستی و جذب، همچنین عدم سمیت، فراوانی، دسترسی آسان، قیمت ارزان و قابلیت زیاد در حذف آلاینده‌های شیمیایی سخت تجزیه‌پذیر مانند ترکیبات هالوژنه، فلورات‌سنگین، آنیون‌ها مانند نیترات، آفتکش‌ها، رنگارها و آنتی‌بیوتیک‌ها در فرایند‌های تصفیه‌ی آب و فاضلاب مورد توجه قرار گرفته‌اند.<sup>[۴-۶]</sup>

پژوهش‌هایی در زمینه‌ی قابلیت اکسیداسیون نانو ذرات آهن در حذف آلاینده‌های موجود در آب و فاضلاب نشان داده است، که نانو ذرات آهن در شرایط مختلف، واکنش‌های متنوعی دارند.<sup>[۷-۱۰]</sup> اکسیدهای و اکسید هیدروکسید آهن ( $FeOOH$ ) نیز در فرایند‌های فتوکاتالیستی به منظور تخریب آلاینده‌های مختلف مورد استفاده قرار گرفته و مکانیسم حذف، سیستمیک واکنش و عوامل مزاحم آنها نیز بررسی شده است. برای مثال مقدار ( $mg/L$ )  $20$  بیس فلن توسط ( $mg/L$ )  $Fe_2O_4$  و UV  $\alpha$  با توان تابشی  $8$  وات در  $pH = 7$  در مدت زمان  $60$  دقیقه به میزان  $24\%$  تجزیه شده و سیستمیک واکنش، مرتبه‌ی اول با ثابت سرعت ( $min^{-1}$ )  $18 \times 10^0$  بوده است.<sup>[۱۱]</sup> مقدار ( $mg/L$ )  $400$  از  $Fe_2O_4$  با تابش هم زمان UV  $\alpha$  ( $300$  وات) در  $pH = 6$  مقدار ( $mg/L$ )  $30$  هگزا کاربوسیکلوهگزان را در مدت  $220$  دقیقه به میزان  $60\%$  تجزیه کرده و سیستمیک واکنش با ثابت سرعت ( $min^{-1}$ )  $14 \times 10^0$  شبه مرتبه‌ی اول بوده است.<sup>[۱۲]</sup> همچنین در پژوهش‌های پیشین بر روی نانو ذرات آهن نظریه‌ی ارائه شده است، که بر سطح نانو ذرات آهن، اکسید آهن (II) و (III) تشکیل و مقدار اکسید آهن (III) در محیط آبی غالب است. این ساختار هسته‌ی پوسته دار پیامدهای مهمی در خواص شیمیایی نانو ذرات آهن دارد. چنین ساختاری بالقوه پتانسیل واکشن پذیری بیشتری نسبت به اکسید آهن و نانو ذرات آهن خالص دارد. نانو ذرات آهن پوسته دار در حذف آلاینده‌ها به دلیل خواص انتقال ترکیبی مؤثرer هستند. در انتقال ترکیبی هسته‌ی فلزی آهن یک منع الکترون دهنده در نقش احیاء‌کننده است، لایه‌ی اکسید جذب آلودگی را از طریق نیروی الکتروستاتیک و تشکیل کمپلکس سطحی افزایش و به طور هم زمان اجازه‌ی عبور الکترون را از هسته به آلاینده می‌دهد. این تذکر لازم است که انتقال ترکیبی به  $pH$  و نوع آلاینده بستگی دارد. پژوهش‌هایی که تاکنون در این زمینه انجام شده است، برای حذف فلزات سنگین نظیر جیوه، روی و کروم (VI)، ترکیبات کاربار آلی و هیدروژن سولفید بوده است.<sup>[۱۳]</sup>

در این پژوهش، طی انجام یک فرایند تلفیقی، علاوه بر به کارگیری خاصیت اکسیداسیون نانو ذرات آهن صفر برای تخریب مولکول OTC، از فرایند فتوکاتالیستی لایه‌ی اکسید تشکیل شده بر سطح ذرات آهن نیز برای معدنی‌سازی OTC به منظور پیشگیری از تولید محصولات سمی استفاده و شرایط بهینه تعیین شده است. با اندازه‌گیری تعییرات پارامترهای ORP، DO و pH طی انجام فرایند، زمان شروع واکنش فتوکاتالیستی و محصولات عمده‌ی میانی تعیین و پس از آن ثابت‌های سیستمیکی آنها محاسبه شدند. همچنین اثر یون‌های کلسیم، منیزیم، کار، نیترات، سولفات و بی‌کربنات در فرایند حذف OTC بررسی و ثابت‌های سیستمیکی آنها نیز تعیین شده است.

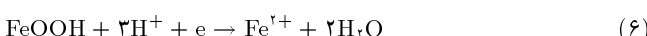
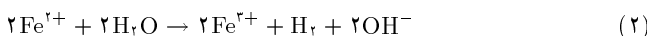
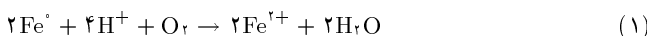
### جدول ۱. تعیین شرایط بهینه و تخریب کامل در واکنش حذف OTC

مقادیر منتخب		شرایط تخریب	مقادیر مورد آزمایش	پارامترها
بهینه	کامل			
۳	۲	pH	۱۱، ۹، ۸، ۷، ۶، ۵، ۴، ۳	
۱۵۵	۱۵۵	OTC (mg/L)	۳۰۰ و ۲۵۰، ۱۵۵، ۹۴، ۱۰	غلظت OTC
۱۰۰۰	۱۰۰۰	NZVI (mg/L)	۱۰۰۰ و ۷۰۰، ۵۰۰، ۱۰	غلظت NZVI
۲۰۰	۲۰۰	Tوان تابش (W)	۲۴۰ و ۲۰۰، ۱۴۰، ۶۰	Tوان تابش
۱۴	۶/۵	(hr)	۱-۱۴	زمان

شده است. طبق نتایج حاصل در شرایط بهینه، میزان جذب در دو طول موج ۲۹۰ و ۳۴۸ نانومتر و نیز میزان حذف COD و TOC، به ترتیب ۸۷، ۹۵ و ۸۹ درصد بدست آمد که در تخریب کامل معادل ۱۰۰٪ بودند.

### ۲. بررسی تعییرات pH، ORP و DO

سه پارامتر pH، DO و ORP به صورت لحظه‌بهی در فرایند حذف OTC در شرایط بهینه اندازه‌گیری شدند. مطابق شکل ۳، مقدار pH از ابتدا تا زمان ۱۸۰ دقیقه از مقدار ۳ به ۶/۵ افزایش یافت و پس از آن ثابت ماند. نوسانات و ثبت به وجود آمده با رابطه‌های ۱ تا ۷ قابل توجیه هستند.<sup>[۱۸-۱۶]</sup>



دو پارامتر DO مطابق با رابطه ۱ و ORP مطابق با روابط ۱ تا ۵ در طول واکنش تعییرات یکسان داشتند و هر دو پارامتر از ابتدی واکنش تا ۳ ساعت به ترتیب از مقادیر (mg/L) ۶/۴۸ و (mV) ۴۶۵، ۶۴ به (mg/L) ۱۰۰۸ و (mV) ۳۷۸، ۸۸ کاهش یافته‌اند، که بیانگر واکنش احیاء است. پس از آن طبق رابطه‌های ۶ و ۷ دو پارامتر DO و ORP به ترتیب به مقادیر (mg/L) ۲/۹۲ و ۱۰۰۰-۷۰۰ گرم بر مول و قطعه‌ساز با سامد ۱۸۰ بوده است، به منظور مطالعه‌ی سینتیکی و تعیین محصولات عمده‌ی میانی و ترازوی دیجیتالی مدل PLS۳۶۰-۳ جهت توزین مواد بودند.

اسکیدشده با چگالی  $3/8 \text{ gr/cm}^3$  از نمونه‌ها توسط تهشیینی اندازه‌گیری شدند. پس از تعیین شرایط بهینه، نمونه‌های OTC با غلظت (ppm) ۱۵۵ در  $\text{pH}=3$  با مقدار (ppm) ۱۰۰ نانو ذرات آهن صفر با توان‌های تابش ۲۰۰ وات در زمان‌های ۶/۵ و ۱۴ ساعت برای تعیین زمان شروع واکنش فتوکاتالیستی (پارامترهای pH، ORP و DO) تحت واکنش قرار گرفتند. نکته‌ی قابل ذکر اینکه غلظت‌های بیش از (ppm) ۱۰۰ OTC ۳۰۰ (ppm) و نانو ذرات آهن کدورت زیادی در محلول ایجاد کردند و راندمان فرایند فتوکاتالیستی را به شدت کاهش دادند. در ادامه، محصولات عمده‌ی واکنش و ثابت‌های سینتیکی آنها توسط HPLC/ESI-MS تعیین شد. همچنین اثر غلظت اولیه در سرعت واکنش حذف آن با غلظت‌های ۹۴، ۱۰ و (ppm) ۱۵۵ بررسی و ثابت‌های سینتیکی آنها محاسبه شد. علاوه بر آن، به منظور تعیین اثر مراحمت بون‌های رقیب در واکنش حذف OTC، یون‌های کلسیم، مسیزیم، کاربید، نیترات، سولفات و بیکربنات با غلظت‌های ۱۰، ۵۰، ۱۰۰ و (ppm) ۲۰۰ استفاده و تعییرات جذب در دو طول موج ۲۹۰ و ۳۴۸ نانومتر و پارامتر TOC بررسی شد و مدل سینتیکی حذف OTC و ثابت‌های سرعت آن در حضور بون‌های رقیب نیز مورد مطالعه قرار گرفت.

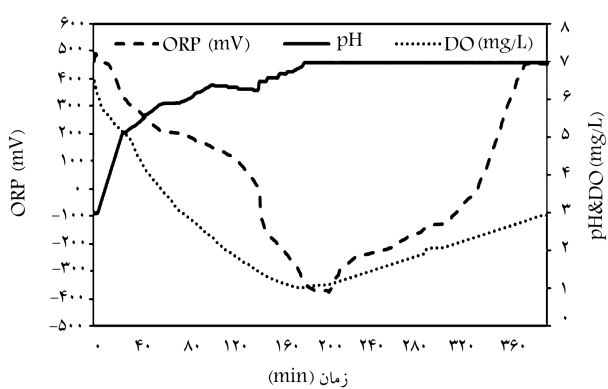
تمام آزمایش‌های در دمای ۲۴-۲۲ درجه‌ی سلسیوس تا ۳ مرتبه براساس روش‌های اندازه‌گیری کتاب روش‌های استاندارد آزمایش‌های آب و فاضلاب تکرار شدند.<sup>[۲۱]</sup>

این تذکر لازم است که مقدار انحراف نسبی (RSD)<sup>۲</sup> داده‌ها کمتر از ۲/۳٪ بیانگر

میزان تکرار پذیری بالای داده‌ها بود.

دستگاه‌های عمده‌ی مورد استفاده در مراحل مختلف آزمایش شامل اسپکتروفوتومتر (DR4000, HACH) جهت بررسی تعییرات جذب و پارامترهای COD، TOC و pH (Philips XRD) به منظور بررسی لایه‌ی اسید سطحی نانو ذرات آهن، pH متر (Metrohm) برای تعیین pH، ORP (HQ30d, HACH) و (Agilent 6410-QQQ) HPLC/ESI-MS (CO<sub>2</sub>)<sup>۲۵۰</sup> و (CO<sub>2</sub>-QQQ) HPLC/ESI-MS شامل ستون (mm) ۴، ۶ × ۳، ۵، ۱۰۰ - ۱۰۰ (C<sub>18</sub>)<sup>۲۰</sup>، فلوئی جریان (mL/min) ۰، ۲، فاز متحرک دارای نسبت ۳۵:۲۰:۲۰ از اسید فرمیک ۱، ۰، ۰ مولا/استونیتریل/متانول، محدوده‌ی اسکن جرمی ۷۰۰-۱۰۰۰ گرم بر مول و قطعه‌ساز با سامد ۱۸۰ بوده است، به منظور مطالعه‌ی سینتیکی و تعیین محصولات عمده‌ی میانی و ترازوی دیجیتالی مدل PLS۳۶۰-۳ جهت توزین مواد بودند.

اسکسی‌تراسایکلین ساخت شرکت Sigma Aldrich با خلوص ۹۹٪ به عنوان ماده‌ی اصلی، نانو ذرات آهن در اندازه‌ی ذرات ۲۰-۸۰ نانومتر با ساختار آمورف و خلوص ۹۵٪ از پژوهشگاه صنعت نفت به عنوان عامل حذف، کاربید کلسیم، کاربید مسیزیم، نیترات سدیم، سولفات سدیم و کربنات سدیم با خلوص ۹۹٪ (Merck) برای بررسی اثر بون مراحم، گازارت با خلوص ۹۹٪ از شرکت واریان (Merck) گاز جهت ایجاد انسپر خنثی هنگام توزین نانو ذرات آهن، اسید کاربیدریک (Merck) و هیدروکسید سدیم (Merck) برای تنظیم pH از جمله مواد مورد استفاده بودند.

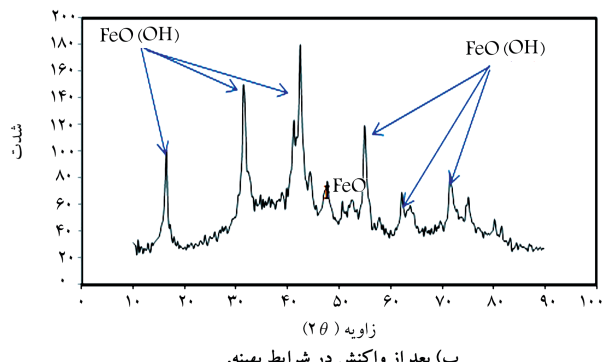
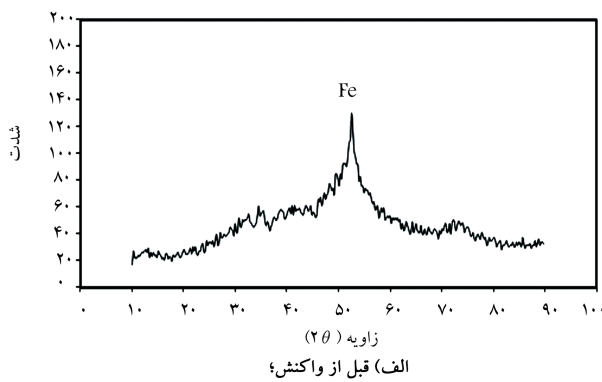


شکل ۳. تعییرات پارامترهای ORP، pH و DO در حذف OTC در شرایط بهینه.

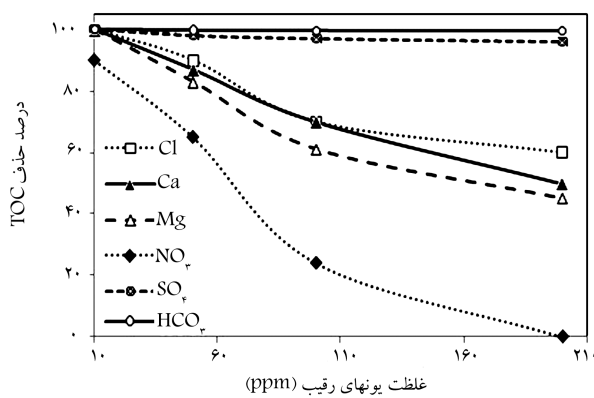
### ۳. بحث و نتایج

#### ۳.۱. تعیین شرایط بهینه‌ی واکنش حذف

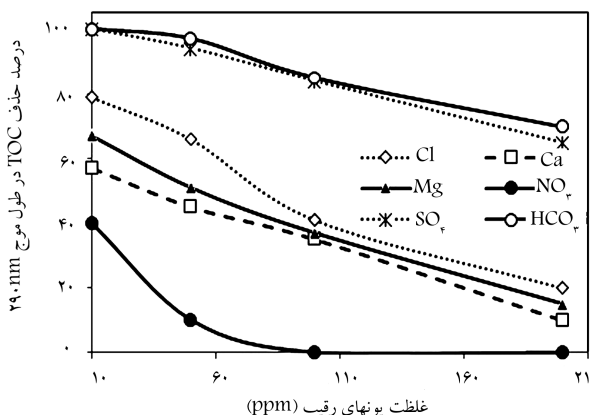
در جدول ۱، مقادیر بررسی شده‌ی پارامترهای مؤثر در واکنش حذف OTC شامل pH، غلظت OTC، غلظت نانو ذرات آهن، توان تابش و زمان انجام فرایند ارائه



شکل ۴. طیف XRD.



شکل ۵. تغییرات حذف TOC در حضور یون‌های مزاحم در شرایط تخریب کامل.



شکل ۶. تغییرات حذف در طول موج (nm) ۲۹۰ در حضور یون‌های مزاحم در شرایط تخریب کامل.

(mV) ۴۵۶/۰۰ افزایش یافته که بیانگر واکنش اکسید است.<sup>[۲۲]</sup> همچنین پارامتر pH مطابق رابطه ۱ و نیز به دلیل جداشدن گروه‌های هیدروکسیل از مولکول OTC، با گذشت زمان افزایش می‌یابد و با توجه به رابطه ۲ تا انتهاهای واکنش ثابت باقی می‌ماند. علاوه بر تغییرات مقادیر pH، DO، ORP، آنچه از مخصوصات حاصل از شکست OTC و رابطه‌های ۱ تا ۷ می‌توان آغاز واکنش فتوکاتالیستی را از ۳ ساعت پس از شروع واکنش تخمین زد.

### ۳.۳. بررسی لایه‌ی اکسید آهن

در واکنش اکسیداسیون نانوذرات آهن با OTC، از همان ابتدا لایه‌ی اکسید بر سطح آهن تشکیل و با گذشت زمان مقدار این لایه بیشتر و با به کارگیری هم‌زمان تابش UV فرایند فتوکاتالیستی لایه‌ی اکسید نیز افزایش یافت. اکسید و اکسید هیدروکسید آهن مطابق رابطه‌های ۸ تا ۱۱ دارای واکنش فتوکاتالیستی است و تولید رادیکال هیدروکسیل می‌کند.<sup>[۲۳,۱۴]</sup>



در شرایط آزمایشی یکسان (شرایط بهینه) رنگ سیاه اولیه‌ی نانوذرات آهن پس از واکنش در pH اسیدی ۳ به رنگ قهوه‌ی (اکسید آهن) و در pH‌های خشی و قلیایی به رنگ قهوه‌ی سوخته تغییر کرد.

همچنین از نانوذرات آهن قبیل و بعد از واکنش، طیف XRD گرفته شد که نتیجه‌ی حاصل در شکل ۴الف، حضور نانوذرات آهن صفر با ساختار آمورف را قبیل از واکنش تأیید می‌کند. در شکل ۴ب نیز تشکیل اکسید و اکسید هیدروکسید آهن (FeO و FeOOH) در pH معادل ۳ نشان داده شده است.

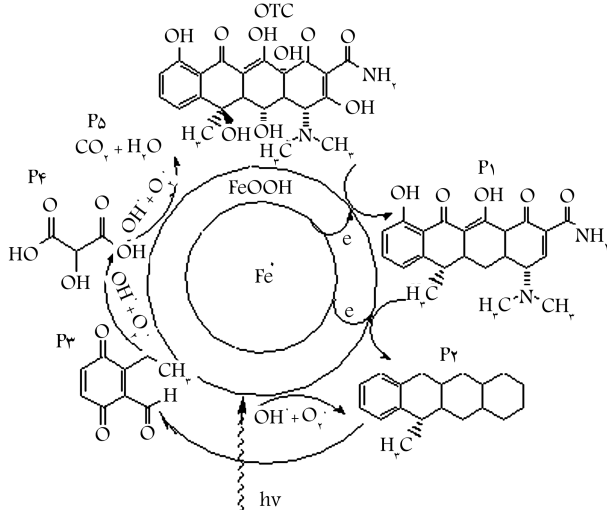
### ۴. بررسی اثر یون‌های رقیب در واکنش حذف OTC

مطابق نتایج به دست آمده در شکل‌های ۵ تا ۷ که به ترتیب مربوط به حذف TOC، جذب در طول موج (nm) ۲۹۰ و ۳۴۸ در مولکول OTC در مجاورت یون‌های رقیب است، یون‌های سولفات و بیکربنات در غلظت‌های ۱۰ تا ۲۰۰ میلی‌گرم بر لیتر، اثر قابل ملاحظه‌ی در حذف TOC و جذب در ۲ طول موج ۲۹۰ و ۳۴۸ نداشتند.

در غلظت‌های (ppm) ۱۰ از کلسیم و منزیم، مقادیر TOC ثابت است و جذب در دو طول موج (nm) ۲۹۰ از ۱۰۰ به ۱۰۵ در ترتیب برای کلسیم و منزیم به ۵۷ و ۶۷ درصد و در طول موج (nm) ۳۴۸ به ۹۶ و ۹۰ درصد کاهش یافته‌اند. زیرا یون‌های کلسیم و منزیم با OTC، تشکیل کمپلکس می‌دهند.<sup>[۲]</sup> با افزایش غلظت کلسیم و منزیم، مقادیر حذف OTC به دلیل تشکیل کمپلکس پایدار کاهش می‌یابد، به طوری که در غلظت (ppm) ۲۰۰ از کلسیم و منزیم مقادیر حذف TOC از ۱۰۰ به ۵۰ و ۴۵ درصد جذب در طول موج (nm) ۳۴۸ به ۱۰۰ و ۹۵ درصد و در طول موج (nm) ۲۹۰ به ۱۰۵ و ۹۰ درصد جذب در طول موج (nm) ۲۹۰ را از ۱۰۰ به ۱۰۰ و ۹۵ درصد کاهش دادند. در غلظت (ppm) ۲۰۰ از یون‌های نیترات مقادیر حذف برای TOC و دو طول موج ۲۹۰ و ۳۴۸ را از ۱۰۰ به ۱۰۰ و ۹۰ درصد کاهش دادند. صفر درصد شدند. یون‌های

(رابطه‌ی ۱۴) با کمترین مقدار ( $10 \text{ min}^{-1}$ ) در طول انجام فرایند است، که دلیل آن شکسته شدن حلقه‌های کربنی است.<sup>[۱]</sup> تبدیل  $P_2$  به  $P_4$  با ثابت سرعت  $K_4$  (رابطه‌ی ۱۵) ( $49 \text{ min}^{-1}$ ) سرعت بیشتری نسبت به مرحله‌ی قبل داشته است، که به دلیل ساده‌تر شدن ساختار  $P_2$  است و ثابت سرعت  $K_5$  (رابطه‌ی ۱۶) مربوط به تولید گاز  $\text{CO}_2$  برابر ( $74 \text{ min}^{-1}$ ) است.

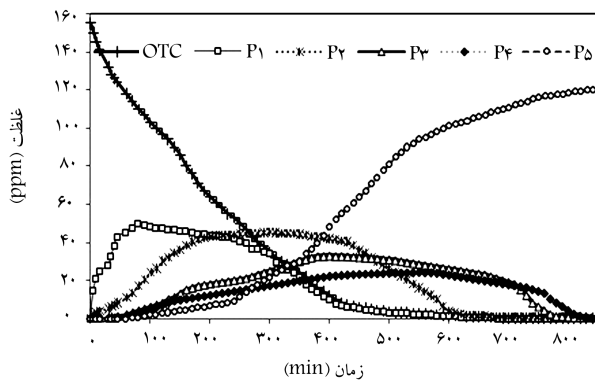
در شکل ۹، تغییرات غلظت ماده‌ی اولیه و محصولات میانی همراه با گاز دی‌اکسیدکربن نسبت به زمان ارائه شده است. محصولات  $P_1$ ,  $P_2$ ,  $P_4$ ,  $P_5$  در ۱۵ دقیقه پس از شروع واکنش مشاهده شد و به ترتیب پس از  $46^\circ$  و  $58^\circ$  دقیقه به غلظت پس از  $5$  (ppm) رسیدند. در حالی که محصولات  $P_2$  و  $P_4$  پس از  $150^\circ$  دقیقه از شروع



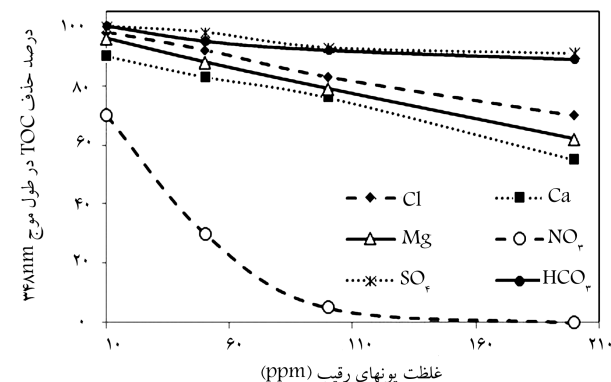
شکل ۸. مدل پیشنهادی شکست مولکول OTC در فرایند حذف در شرایط تخریب کامل.

جدول ۲. مشخصات عمده‌ی محصولات تشکیل شده.

محصولات (gr/mol)	فرمول مولکولی	جرم مولکولی
۳۹۵	$\text{C}_{22}\text{H}_{22}\text{N}_2\text{O}_5$	$P_1$
۲۵۴	$\text{C}_{19}\text{H}_{26}$	$P_2$
۱۶۴	$\text{C}_9\text{H}_8\text{O}_7$	$P_3$
۱۲۰	$\text{C}_7\text{H}_9\text{O}_5$	$P_4$
۴۴	$\text{CO}_2$	$P_5$



شکل ۹. تغییرات غلظت OTC و محصولات عمده‌ی میانی در فرایند در شرایط تخریب کامل.



شکل ۷. تغییرات حذف در طول موج (348 nm) در حضور یون‌های مزاحم در شرایط تخریب کامل.

کلرید نیز در غلظت ( $10 \text{ ppm}$ ) تغییری در حذف TOC نداشتند و جذب در دو طول موج  $290^\circ$  و ( $348 \text{ nm}$ ) را از  $100^\circ$  به  $79^\circ$  و  $98^\circ$  درصد کاهش دادند و در غلظت ( $20 \text{ ppm}$ ) مقدار جذب TOC را از  $100^\circ$  به  $60^\circ$  درصد حذف و در دو طول موج  $290^\circ$  و ( $348 \text{ nm}$ ) از  $100^\circ$  به  $20^\circ$  و  $70^\circ$  درصد کاهش دادند. در پژوهش‌های پیشین نیز نتایج مشابهی در خصوص اثر منفی یون‌های نیترات و کلرید به دلیل واکنش با نانو ذرات آهن گزارش شده است.<sup>[۱۱, ۱۲]</sup> به طور کلی قابلیت مماغفت‌کنندگی یون‌ها در حذف OTC توسط نانو ذرات آهن را می‌توان به صورت  $\text{NO}_3^- > \text{Ca}^{++} \approx \text{Mg}^{++} > \text{Cl}^-$  بیان کرد.

### ۵.۳ بررسی سینتیک واکنش و محاسبه‌ی ثابت‌های سرعت

در این پژوهش، سینتیک حذف OTC از واکنش‌های سری مرتبه‌ی اول ( $\text{OTC} \rightarrow P_1 \rightarrow P_2 \rightarrow P_4 \rightarrow P_5$ ) پیروی می‌کند، که ثابت‌های سینتیکی از حل معادلات روابط  $12$  تا  $17$  به روش تخمین عددی مرکزی محاسبه شدند.<sup>[۲۲]</sup>

$$d[\text{OTC}]/dt = -K_1[\text{OTC}] \quad (12)$$

$$d[P_1]/dt = K_1[\text{OTC}] - K_2[P_1] \quad (13)$$

$$d[P_2]/dt = K_2[P_1] - K_3[P_2] \quad (14)$$

$$d[P_4]/dt = K_3[P_2] - K_4[P_4] \quad (15)$$

$$d[P_5]/dt = K_4[P_4] - K_5[P_5] \quad (16)$$

$$d[P_5]/dt = K_5[P_4] \quad (17)$$

در شکل ۸، مدل شکست مولکول OTC توسط فرایند هم‌زمان اکسیداسیون و فتوکاتالیستی نانو ذرات آهن و مشخصات عمده‌ی محصولات تشکیل شده در جدول ۲ ارائه شده است.

طابق شکل در واکنش احیاء، گروه‌های عاملی هیدروکسیل، آمین و کربنیل از OTC جدا و عمده‌ی محصولات  $P_1$ ,  $P_2$  و  $P_4$  تشکیل می‌شوند. مطابق رابطه‌ی  $12$  و  $13$ ، ثابت‌های سرعت در حذف OTC ( $K_1$ ) و ( $P_1$ ) به ترتیب برابر  $(10,000 \text{ min}^{-1})$  و  $(10,000 \text{ min}^{-1})$  هستند. کاهش سرعت تبدیل  $P_2$  به  $P_1$  نسبت به  $P_1$  به دلیل پیوند قوی تر گروه‌های عاملی کربنیل نسبت به آمین و هیدروکسیل است.<sup>[۲۳]</sup> و ترکیبات  $P_2$ ,  $P_4$  و  $P_5$  عمدۀی محصولات واکنش اکسید هستند. در مرحله‌ی تبدیل محصول احیاء ( $P_2$ ) به اکسید ( $P_4$ ) ثابت سرعت  $K_2$

جدول ۳. ثابت‌های سرعت حذف حضور OTC در غلظت‌های مختلف از یون‌های رقیب.

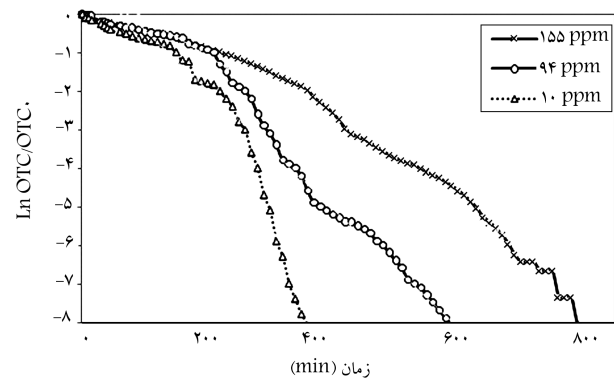
اطلاعات سینتیکی							یون‌های رقیب
غلظت‌های یون‌های رقیب (ppm)							
۲۰۰	۱۰۰	۵۰	۱۰	۰	۰	۰	
۰,۰۰۵۶	۰,۰۰۷۳	۰,۰۰۹۰	۰,۰۰۹۷	۰,۰۰۹۹	۰,۰۰۹۹	۰,۰۰۹۹	Cl <sup>-</sup>
۰,۰۰۴۱	۰,۰۰۵۷	۰,۰۰۷۹	۰,۰۰۹۳	۰,۰۰۹۹	۰,۰۰۹۹	۰,۰۰۹۹	Ca <sup>2+</sup>
۰,۰۰۳۵	۰,۰۰۵۱	۰,۰۰۸۳	۰,۰۰۹۰	۰,۰۰۹۹	۰,۰۰۹۹	۰,۰۰۹۹	Mg <sup>2+</sup>
۰,۰۰۰۱	۰,۰۰۰۵	۰,۰۰۱۸	۰,۰۰۴۹	۰,۰۰۹۹	۰,۰۰۹۹	۰,۰۰۹۹	NO <sub>3</sub> <sup>-</sup>
۰,۰۰۰۸	۰,۰۰۰۹۸	۰,۰۰۰۹۹	۰,۰۰۰۹۹	۰,۰۰۰۹۹	۰,۰۰۰۹۹	۰,۰۰۰۹۹	SO <sub>4</sub> <sup>2-</sup>
۰,۰۰۹۷	۰,۰۰۰۹۷	۰,۰۰۰۹۹	۰,۰۰۰۹۹	۰,۰۰۰۹۹	۰,۰۰۰۹۹	۰,۰۰۰۹۹	HCO <sub>3</sub> <sup>-</sup>

داده است. مدل سینتیکی در غلظت ۱۰ (ppm) از یون‌های کلسیم و منیزیم شبیه مرتبه‌ی اول است، ولی با افزایش غلظت آنها، اثر غلظت OTC کاهش یافته و سینتیک مرتبه‌ی اول شده است. زیرا در غلظت کم کلسیم و منیزیم، غلظت زیاد OTC در معادله‌ی سرعت نقش دارد، که با افزایش غلظت دو یون مذکور اثر غلظت OTC در معادله‌ی سرعت کاهش می‌یابد و مدل سینتیکی مرتبه‌ی اول مناسب‌تر می‌شود.

با افزایش غلظت دو یون مذکور به (۲۰۰) (ppm) ۳ ثابت‌های سرعت به ترتیب از (min<sup>-۱</sup>) ۰,۰۰۹۹ به (min<sup>-۱</sup>) ۰,۰۰۴۱ و (min<sup>-۱</sup>) ۰,۰۰۳۵ کاهش می‌یابند. سینتیک حذف OTC در حضور (ppm) ۱۰ یون نیترات به دلیل دخالت غلظت هر دو یون OTC و نیترات در معادله‌ی سرعت و بیشتر بودن غلظت OTC نسبت به نیترات شبیه مرتبه‌ی اول و برابر (min<sup>-۱</sup>) ۰,۰۰۴۹ است. با افزایش غلظت نیترات، اثر غلظت OTC در سرعت واکنش کاهش می‌یابد و معادله‌ی سرعت مرتبه‌ی اول می‌شود. همچنین به دلیل واکنش نیترات با نانو ذرات آهن، غلظت ۲۰۰ (ppm) آن ثابت سرعت حذف را به (min<sup>-۱</sup>) ۰,۰۰۰۱ کاهش می‌دهد. نکته‌ی قابل ذکر این است که در پژوهش‌های مشابهی که برای حذف OTC صورت گرفته است، سینتیک یون‌های ممانعت‌کننده بررسی نشده‌اند.

#### ۴. نتیجه‌گیری

اکسی‌تراسایکلین از جمله آنتی‌بیوتیک‌های سخت تجزیه‌پذیر است، که حضور آن در آب‌های سطحی و خاک مشکلات زیست‌محیطی متعددی بوجود می‌آورد. آهن و اکسیدهای آن نیز به دلیل عدم سمیت، فلزمنی، در دسترس و ارزان بودن و همچنین استفاده از خاصیت جذب، مغناطیسی، اکسیداسیون و فتواکسیداسیون آنها می‌توانند انتخاب مناسبی جهت تصفیه‌ی آلاینده‌های سخت تجزیه‌پذیری مانند OTC باشند. در این پژوهش، با توجه به شرایط بهینه‌ی به دست آمده (pH=۳, T=20°C, UV=200 وات و غلظت‌های (ppm) ۱۰۰ آهن و ۱۵۵ مولکول سخت و پایدار OTC) در زمان ۶,۵ ساعت راندمان حذف برای طول موج‌های ۲۹۰ و ۳۴۸ نانومتر، COD و TOC به ترتیب ۷۳, ۸۷, ۹۵, ۹۵ و ۸۵ درصد است و پس



شکل ۱۰. تغییرات سرعت واکنش حذف در غلظت‌های مختلف OTC در شرایط تخریب کامل.

واکنش تولید و به ترتیب پس از ۷۴۰ و ۷۹۰ دقیقه به غلظت (ppm) ۵ رسیدند. همچنین گاز CO<sub>2</sub> پس از ۱۶۰ دقیقه از شروع واکنش تولید شد. همچنین مطابق شکل ۱۰، غلظت‌های (ppm) ۹۴, ۱۰ و ۱۵۵ از OTC در شرایط بهینه حذف شدند و ثابت‌های سرعت آنها به ترتیب (min<sup>-۱</sup>) ۰,۰۰۰۹۸, ۰,۰۰۰۲۴ و (min<sup>-۱</sup>) ۰,۰۰۰۹۰ به دست آمد. نتایج نشان می‌دهد که با کاهش غلظت OTC سرعت حذف آن توسط نانو ذرات آهن چشم‌گیری داشته است.

#### ۶.۳. محاسبه‌ی ثابت‌های سینتیکی حذف OTC در حضور

##### یون‌های رقیب

در جدول ۳، نتایج مربوط به محاسبه‌ی ثابت‌های سینتیکی حذف OTC ارائه شده است. همان‌طور که ملاحظه می‌شود، با وجود حضور یون‌های کلرید، سولفات و بی‌کربنات در فرآیند، سینتیک واکنش حذف OTC مرتبه‌ی اول است و ثابت سرعت واکشن حذف OTC در حضور یون‌های سولفات و بی‌کربنات ثابت نقاوت قابل توجهی با زمان عدم حضور آنها (min<sup>-۱</sup>) ۰,۰۰۰۹۹ نداشته است. یون‌های کلرید فقط در غلظت‌های ۱۰۰ و ۲۰۰ میلی‌گرم بر لیتر ثابت سرعت حذف OTC را به دلیل واکنش کلر با آهن به مقادیر به ترتیب ۷۳, ۸۷, ۹۵, ۹۵ و (min<sup>-۱</sup>) ۰,۰۰۰۵۶

سرعت ( $\text{min}^{-1}$ ) ۷۵، ۰٪ حذف شده است، در حالی که حضور یون‌های نیترات اثر مثبت در حذف داشته است.<sup>[۵]</sup> در فرایند UV/TiO<sub>2</sub> با توجه به تولید محصولات نهایی سمی، سیستیک حذف بررسی نشده و برای (ppm) از OTC یون‌های نیترات، سولفات و کلرید به ترتیب با غلظت‌های ۶۲۰، ۹۶۰ و ۳۵۵ میلی‌گرم بر لیتر مراحتی نشان نداده است.<sup>[۶]</sup> در فرایند‌های فنتون و UV/H<sub>2</sub>O<sub>2</sub> سیستیک حذف مرتبه‌ی دوم است و یون‌های نیترات (۱۳۲ ppm)، سولفات (۶۰ ppm)، بی‌کربنات (۳۰۰ ppm) و کلرید (۱۰۷ ppm) سبب مصرف هیدروژن پرکسید (۳۴ ppm)<sup>[۷]</sup> شده و راندمان حذف OTC با غلظت (ppm) ۳ را به شدت کاهش داده‌اند.<sup>[۸,۹]</sup> نانو ذرات آهن نیز در حذف بیس فتل با ثابت سرعت ( $\text{min}^{-1}$ ) ۱۸ در حذف هگزاکاروسیکلوفگزان با ثابت سرعت ( $\text{min}^{-1}$ ) ۱۴ مراحته‌ی اول و در حذف هگزاکاروسیکلوفگزان با ثابت سرعت ( $\text{min}^{-1}$ ) ۰، ۰۰۱۴ سیستیک شبه مرتبه اول داشته‌اند.<sup>[۱۰,۱۱]</sup> در حالی که در این پژوهش حذف کامل OTC با سرعت بیشتری ( $\text{min}^{-1}$  ۰، ۰۰۹۹) توسط نانو ذرات آهن انجام شده است.

از ۱۴ ساعت راندمان حذف ۱۰٪ برای جذب در دو طول موج ۲۹۰ و ۳۴۸ نانومتر، TOC و COD به دست آمد. با اندازه‌گیری پارامترهای pH، DO و ORP زمان شروع واکنش فتوکاتالیستی پس از ۳ ساعت از شروع واکنش تخمین زده شد. همچنین لایه‌ی اکسید تشکیل شده بر سطح نانو ذرات آهن، اکسید هیدروکسید آهن تعیین شد، که خاصیت فتوکاتالیستی نیز دارد. محصولات عمده‌ی میانی نیز پیشنهاد شدند و ثابت‌های سیستیکی آنها با توجه به مرتبه‌ی اول بودن واکنش‌ها به ترتیب ( $\text{min}^{-1}$ ) ۰، ۰۰۲۱، ۰، ۰۰۴۹ و ( $\text{min}^{-1}$ ) ۰، ۰۰۷۴ محاسبه شدند.

همچنین اثر مراحتم یون‌های نیترات، کلرید، بی‌کربنات، سولفات، کلسیم و منیزیم بررسی و تأثیر منفی آنها در واکنش حذف به ترتیب  $\text{NO}_3^- > \text{Ca}^{2+} \approx \text{Mg}^{2+} > \text{Cl}^-$  مشخص و مدل سیستیکی یون‌های رقیب به همراه ثابت‌های سرعت بررسی شدند. در سایر فرایند‌هایی که تاکنون برای حذف استفاده شده‌اند، مانند فتولیز مقدار OTC (ppm) از ۴۰ که با سیستیک مرتبه‌ی اول حذف شده است، فقط یکی از گروه عاملی‌های هیدروکسیل و آمین با ثابت

## پابندی

1. Oxy Tetra Cycline
2. relative standard deviation

## منابع (References)

1. Zhao, C., Deng, H., Li, Y. and Liu, Z. "Photodegradation of Oxy-TetraCycline in aqueous by 5A and 13X loaded with TiO<sub>2</sub> under UV irradiation", *Journal of Hazardous Materials*, **176**(1-3), pp. 884-892 (2010).
2. Awartani, L.S.M. "Fate of Oxy-tetracycline & Doxycycline in soil & underground water", Submitted in Partial Fulfillment of the Requirements for the Degree of Master of Science in Chemistry, Faculty of Graduate Studies, at An-Najah National University, Nablus, Palestine (2010).
3. Li, K., Yediler, A., Yang, M., Schulte-Hostede, S. and Hung Wong, M. "Ozonation of Oxy-TetraCycline and toxicological assessment of its oxidation by-products", *Chemosphere*, **72**(3), pp. 473-478 (2008).
4. Li, D., Yang, M., Hu, J., Ren, L., Zhang, Y. and Li, K. "Determination and fate of Oxy-tetracycline and related compounds in Oxy-tetracycline production wastewater and the receiving river", *Environmental Toxicology and Chemistry*, **27**(1), pp. 80-86 (2008).
5. Shaojun, J., Shourong, Z., Daqiang, Y., Lianhong, W. and Liangyan, C. "Aqueous Oxy-tetracycline degradation and the toxicity change of degradation compounds in photo-irradiation process", *Journal of Environmental Sciences*, **20**(7), pp. 806-813 (2008).
6. Zhao, C., Deng, H., Li, Y. and Liu, Z. "Photodegradation of Oxy-TetraCycline in aqueous by 5A and 13X loaded with TiO<sub>2</sub> under UV irradiation", *Journal of Hazardous Materials*, **176**(1-3), pp. 884-892 (2010).
7. Ötker Uslu, M. and Akmehtem Balcioğlu, I. "Comparison of the ozonation and Fenton process performances for the treatment of antibiotic containing manure", *Science of the Total Environment*, **407**(11), pp. 3450-3458 (2009).
8. Yuan, F., Hu, C., Hu, X., Wei, D., Chen, Y. and Qu, J. "Photo-degradation and toxicity changes of antibiotics in UV and UV/H<sub>2</sub>O<sub>2</sub> process", *Journal of Hazardous Materials*, **185**(2), pp. 1256-1263 (2011).
9. Junyapoon, S. "Use of zero valent iron for wastewater treatment", *KMITL Sci. Tech. J.*, **5**(3), pp. 587-595 (2005).
10. Kassaei, M.Z., Motamedi, E., Mikhak, A. and Rahnamaie, R. "Nitrate removal from water using iron nano-particles produced by arc discharge vs. reduction", *Chemical Engineering Journal*, **166**(2), pp. 490-495 (2011).
11. Nowack, B. and Bucheli, T.D. "Occurrence behavior and effects of nano-particles in the environment", *Environmental Pollution*, **150**(1), pp. 5-22 (2007).
12. Shan, Z.Z., Fu, L.J., Chao, T., Fang, Z.Q., Tian, H.J. and Bin, J.G. "Rapid decolorization of water soluble azo-dyes by nano sized zero-valent iron immobilized on the exchange resin", *Sci. China B-Chem.*, **51**(2), pp. 186-192 (2008).
13. Ghauch, A., Tuqan, A. and Assi, H.A. "Antibiotic removal from water: Elimination of amoxicillin and ampicillin by micro-scale and nanoscale iron particles", *Environmental Pollution*, **157**(7), pp. 1626-1635 (2009).
14. Li, F.B., Li, X.Z., Liu, C.S. and Liu, T.X. "Effect of alumina on photocatalytic activity of iron oxides for bisphenol a degradation", *Journal of Hazardous Materials*, **149**(1), pp. 199-207 (2007).
15. Fu, H., Quan, X. and Zhao, H. "Photo-degradation of  $\gamma$ -HCH by  $\alpha$ -Fe<sub>2</sub>O<sub>3</sub> and the influence of fulvic acid",

- Journal of Photochemistry and Photobiology A: Chemistry*, **173**(1), pp. 143-149 (2005).
16. Crane, R.A. and Scott, T.B. "Nano-scale zero-valent iron: Future prospects for an emerging water treatment technology", *Journal of Hazardous Materials*, **211-212**, pp. 112-125 (2012).
  17. Chen, J., Qiu, X., Fang, Z., Yang, M., Pokeung, T., Gu, F., Cheng, W. and Lan, B. "Removal mechanism of antibiotic metronidazole from aquatic solutions by using nano-scale zero-valent iron particles", *Chemical Engineering Journal*, **181-182**, pp. 113-119 (2012).
  18. Ghauch, A., Abou Assi, H. and Tuqan, A. "Investigating the mechanism of clofibric acid removal in Fe<sup>0</sup>/H<sup>2</sup>O systems", *Journal of Hazardous Materials*, **176**(1-3), pp. 48-55 (2010).
  19. Yan, W., Herzing, A.A., Kiely, C.J. and Zhang, W. "Nano-scale zero-valent iron (nZVI): Aspects of the core-shell structure and reactions with inorganic species in water", *Journal of Contaminant Hydrology*, **118**(3-4), pp. 96-104 (2010).
  20. Pavia, D.L., *Introduction to Spectroscopy*, Department of Chemistry Western Washington University, Bellingham, Washington by W. B. Saunders Company (1987).
  21. Greenberg, A.E., Eaton, A.D., Mary, A. and Franson, H., *Standard Methods for the Examination of Water & Wastewater*, APHA, AWWA, WPCF, Washington, DC, USA (2005).
  22. Hsieh, W., Ruhsing Pan, J., Huang, C., Su, Y. and Juang, Y. "Enhance the photocatalytic activity for the degradation of organic contaminants in water by incorporating TiO<sub>2</sub> with zero-valent iron", *Science of the Total Environment*, **408**(3), pp. 672-679 (2010).
  23. Andreozzi, R., Caprio, V. and Marotta, R. "Iron (III) (hydro) oxide-mediated photo-oxidation of 2-aminophenol in aqueous solution: A kinetic study", *Water Research*, **37**(15), pp. 3682-3688 (2003).
  24. House, J.E., *Principles of Chemical Kinetics*, Academic Press is an Imprint of Elsevier, San Diego, CA 92101-4495, USA (2007).
  25. Chen, H., Luo, H., Lan, Y., Dong, T., Hu, B. and Wang, Y. "Removal of tetracycline from aqueous solutions using poly vinyl pyrrolidone (PVP-K30) modified nano-scale zero valent iron", *Journal of Hazardous Materials*, **192**(1), pp. 44-53 (2011).